

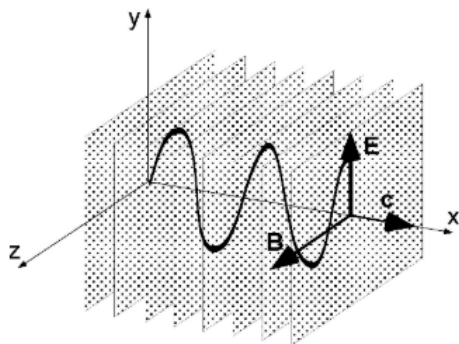
T3 - Interferências Óticas

NOTAS do Protocolo

1 - Intro Teórica

1.1 - Ondas

- Fenómeno muito comum que ocorre devido à sobreposição de ondas.
 - Ondas eletromagnéticas mais simples são:
 - **Planas** - Amplitude e fase iguais em planos perpendiculares à direção de propagação
 - **Monocromáticas** - Descritas por uma função periódica sinusoidal
 - **Polarização Linear** - O vetor campo elétrico tem orientação constante
- Uma onda dessas:



em que temos:

$$\vec{E} = E_y(x, t)\hat{y} = E_{0y}\hat{y} \cos(\omega t - kx + \phi)$$

em que temos $\lambda = vT \rightarrow v = \lambda/T = \lambda\nu$

- Em meios isotrópicos (que são iguais em todas as direções) temos que:

$$v = \frac{c}{n} \quad ; \quad \lambda = \frac{\lambda_0}{n}$$

em que n é o índice de refração do meio.

1.2 - Difração

- Fenómeno que ocorre quando uma onda passa por uma abertura ou obstáculo pequeno e que não pode ser explicado por ótica geométrica.
- Ocorre quando uma frente de onda tem a sua amplitude ou fase alteradas devido à interação com um obstáculo.
- Na teoria não há diferença, mas na prática:
 - Interferência - Quando temos um nº de ondas, N , reduzido.
 - Difração - Quando temos $N \rightarrow \infty$

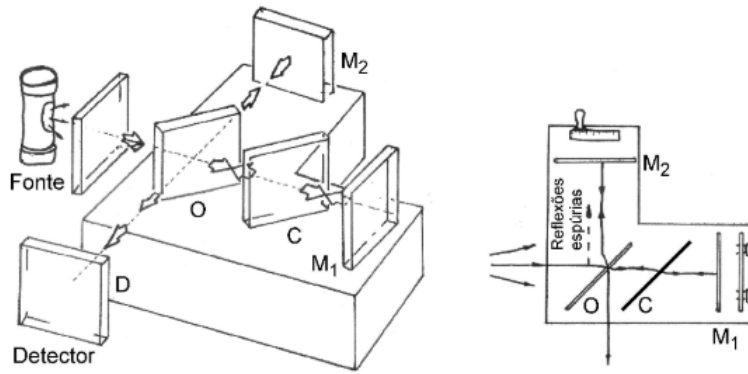
Princípio de Huygens

Cada ponto de uma frente de onda não obstruída constitui, em qualquer instante, uma fonte de ondas esféricas secundárias (com a mesma frequência da onda primária). Deste modo, a amplitude do campo ótico em qualquer ponto do espaço resulta da sobreposição de todas essas ondas (tendo em conta as suas amplitudes e fases relativas).

2 - Interferómetro Michelson

- Interferômetro - Instrumento que permite realizar interferências entre 2+ ondas, de forma controlada. Isto pode ser usado para medir ângulos, distâncias, espectroscopia, etc.

Interferômetro Michelson:

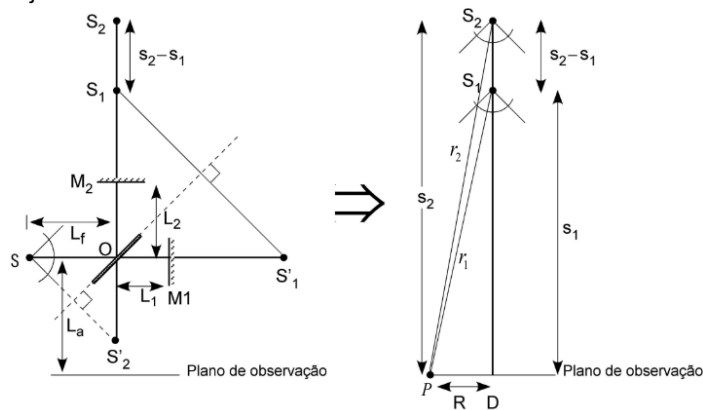


(M₁, M₂ são espelhos, O é o divisor de onda, C a lâmina de compensação e D o detector)

- A parte do feixe que vai a M₂ atravessa o refletor mais vezes, pelo que se mete C para equilibrar, que deverá ter a mesma espessura que O. No entanto, a espessura de O não tem qualquer efeito sobre o feixe, tornando-se a introdução de C desnecessária. Este deverá ser o caso da experiência que iremos realizar :)

2.1 - Interferência entre 2 ondas esféricas

- O padrão de interferência que se observa no detector é equivalente a ter 2 fontes esféricas nos espelhos M₁, M₂. Ou seja:



em que S₁, S₂ são 2 fontes virtuais, tais que:

$$\begin{aligned} s_1 &= 2L_1 + L_f + L_a \\ s_2 &= 2L_2 + L_f + L_a \end{aligned} \quad (\text{Eq.1})$$

- Desde que $s_2 - s_1$ não seja demasiado elevado, temos que quando as 2 ondas chegam a D têm a mesma direção. Assim, podemos tratar o problema de forma escalar, tal que:

$$E = E_1 + E_2 = E_{01}(r_1) \cos(\omega t - kr_1) + E_{02}(r_2 + \phi_1) \cos(\omega t - kr_2 + \phi_2)$$

- Devido à elevada frequência ótica das ondas eletromagnéticas, que não são detetadas pelos fotodetetores atuais, o que importa nesta atividade é a intensidade das ondas, o valor médio temporal do vetor Poynting:

$$I_1 \equiv \langle P_1 \rangle = v\varepsilon \langle E_1^2 \rangle \quad ; \quad I_2 \equiv \langle P_2 \rangle = v\varepsilon \langle E_2^2 \rangle$$

no entanto, só importam as intensidades relativas, pelo que podemos considerar:

$$I_1 = \langle E_1^2 \rangle \quad ; \quad I_2 = \langle E_2^2 \rangle$$

- No plano do detetor (D) temos:

$$I = \langle E^2 \rangle = \langle (E_1 + E_2)^2 \rangle = \langle E_1^2 \rangle + \langle E_2^2 \rangle + 2\langle E_1 E_2 \rangle$$

e podemos escrever:

$$\langle E_1^2 \rangle = \frac{E_{01}(r_1)}{2} = I_1(r_1) \quad ; \quad \langle E_2^2 \rangle = \frac{E_{02}(r_2)}{2} = I_2(r_2)$$

$$2\langle E_1 E_2 \rangle = E_{01}(r_1) E_{02}(r_2) \cos[k(r_1 - r_2) + (\phi_1 - \phi_2)]$$

em que $E_{01}(r_1) = \sqrt{2I_1(r_1)}$, $E_{02}(r_2) = \sqrt{2I_2(r_2)}$. Logo:

$$I = I_1(r_1) + I_2(r_2) + 2\sqrt{I_1(r_1)I_2(r_2)} \cos[k(r_1 - r_2) + (\phi_1 - \phi_2)]$$

- Se considerarmos que E_{01}, E_{02} são aproximadamente constantes no detetor D (uma vez que, conforme a figura acima $R \ll r_1, r_2$) temos $I_1 \approx I_2 = I_0$, logo:

$$I \simeq 2I_0[1 + \cos[k(r_1 - r_2) + (\phi_1 - \phi_2)]]$$

e podemos definir:

$$I \simeq 4I_0 \cos^2\left(\frac{\delta}{2}\right) \quad ; \quad \delta = k(r_1 - r_2) + (\phi_1 - \phi_2) \quad (\text{Eq. 2})$$

o que nos dá:

$$I_{max} \simeq 4I_0 \rightarrow \delta = 2\pi m \quad ; \quad m = \dots, -2, -1, 0, 1, 2, \dots$$

$$I_{min} \simeq 0 \rightarrow \delta = (2m + 1)\pi \quad ; \quad m = \dots, -2, -1, 0, 1, 2, \dots$$

2.2 - Evolução das franjas de interferência com variação do caminho ótico

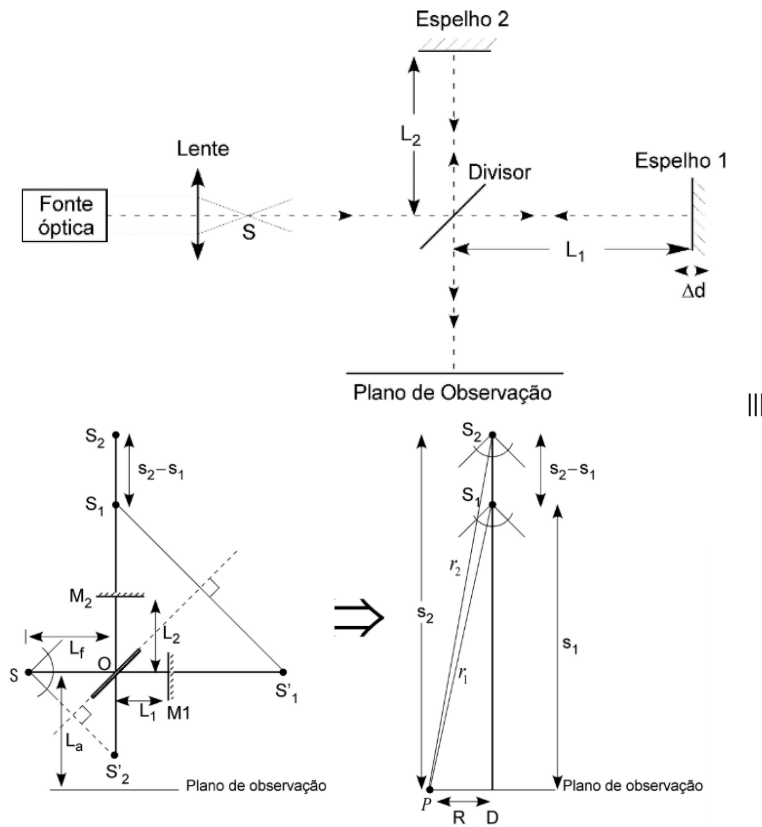
- Consideremos que $\phi_1 = \phi_2$ e da Eq. 2 temos:

$$\delta = k(r_1 - r_2) = \frac{2\pi}{\lambda}(r_1 - r_2) = \frac{2\pi n}{\lambda_0}(r_1 - r_2) \quad (\text{Eq. 3})$$

(indo buscar a equação $\lambda = \frac{\lambda_0}{n}$ que nos dá o comprimento de onda para um meio que não o vácuo)

- Com esta igualdade, se conseguirmos determinar δ para um certo $(r_1 - r_2)$ conseguimos obter o índice de refração do meio.
- Por outro lado, se mantermos $(r_1 - r_2)$ constante variarmos o n , a variação de δ permite determinar a variação de n .

2.2.1 - Determinação de n do ar - método 1



- Consideremos que o ponto P está muito próximo do centro do eixo de simetria das ondas observadas no plano D (ou seja: R muito reduzido). Isto faz com que $r_1 - r_2 \sim s_1 - s_2 = 2(L_1 - L_2) = 2\Delta L$ (ver Eq.1). A partir da Eq.3 isto dá-nos:

$$\delta = \frac{4\pi n_a}{\lambda_0} \Delta L$$

ora, na prática, isto significa que no centro do alvo (R muito reduzido) tivermos um máximo de intensidade temos $\delta = 2\pi m$. Caso contrário temos $\delta = (2m + 1)\pi$. Assim, para passarmos de ter um máximo no centro para voltar a ter um máximo no centro, δ tem que variar 2π . Isto ocorre quando $\Delta L = \frac{\lambda_0}{2n_a}$. Como no interferómetro que teremos no lab apenas 1 espelho se move (consideremos o espelho 1) consideremos que este valor de ΔL que causa $\Delta\delta = 2\pi$ é $\Delta d|_{2\pi} = \frac{\lambda_0}{2n_a}$. Assim temos:

$$2\pi = \frac{4\pi n_a}{\lambda_0} \Delta d|_{2\pi} \rightarrow n_a = \frac{\lambda_0}{2\Delta d|_{2\pi}}$$

- De forma mais geral, se ao variar a posição do espelho 1 uma distância Δd passamos por N máximos (ou mínimos, se inicialmente tínhamos um mínimo no centro) temos a fórmula:

$$n_a = \frac{N\lambda_a}{2\Delta d|_N} \quad (\text{Eq. 4})$$

2.2.2 - Determinação de n do ar - método 2

- Veremos agora como se pode determinar n_a conforme varia a pressão do ar.
- Usaremos uma célula com paredes de vidro em que a pressão no interior pode ser manipulada. Iremos variá-la de quase vácuo ($p \simeq 0$) até pressão atmosférica ($p \simeq p_{atm}$). Assim ficamos com $n_a = n_a(p)$, tal que $n_a(p \simeq 0) = 1$, $n_a(p \simeq p_{atm}) = n_{a|atm}$
- Ora, se a pressão não for muito elevada, n_a aumenta linearmente com a pressão:

$$n_a(p) = n_a(p \simeq 0) + \left(\frac{\Delta n_a}{\Delta p} \right) p \approx 1 + \left(\frac{\Delta n_a}{\Delta p} \right) p$$

ou seja: $n_{a|atm}(p) \approx 1 + \left(\frac{\Delta n_a}{\Delta p}\right)p_{atm}$. Ou seja, o fator que precisamos de obter é o declive da reta $n_a(p)$, pelo que quando $p = p_{atm}$ a equação acima dá-nos $n_{a|atm}$

- Assim:
 1. Colocamos a célula de pressão variável no ramo do espelho 1, perpendicular à direção do espelho.
 2. Colocar $p \simeq 0$ e ajustar a posição do espelho 1 de forma que esteja um máximo no centro do alvo.
 3. Aumentar a pressão gradualmente até $p = p_{atm}$ e contar o número de passagens claro-escuro-claro (N).
- Assim, temos $\Delta p = p_{atm}$ pelo que $\Delta x = N\lambda_0$. Assim:

$$\frac{\Delta x}{\Delta p} = \frac{N}{p_{atm}}\lambda_0$$

- Temos ainda que $\Delta x = 2d_c\Delta n_a$ pelo que:

$$\frac{\Delta x}{\Delta p} = 2d_c \frac{\Delta n_a}{\Delta p}$$

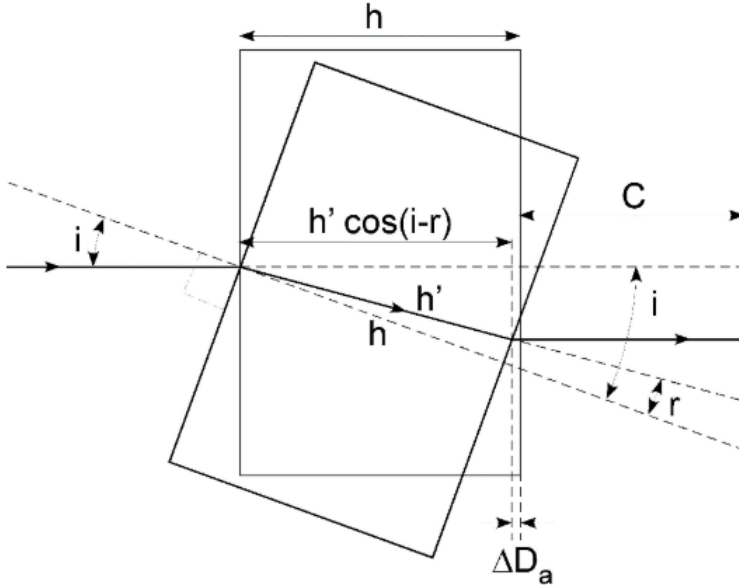
- Juntando as 2 equações acima temos:

$$\frac{\Delta n_a}{\Delta p} = \frac{N\lambda_0}{2d_cp_{atm}}$$

ao substituir em $n_{a|atm}(p) \approx 1 + \left(\frac{\Delta n_a}{\Delta p}\right)p_{atm}$ obtemos:

$$n_{a|atm} \approx 1 + \frac{\lambda_0 N}{2d_c} \quad (\text{Eq. 5})$$

2.2.3 - Determinação do n do vidro



- Colocamos uma lâmina de vidro entre o divisor e o espelho 1.
- Começamos com a lâmina perpendicular ao feixe: $i = 0^\circ$. Neste caso, o feixe percorre h dentro do vidro e C no ar.
- Se tivermos $i \neq 0^\circ$, no vidro o feixe percorre h' e $C + \Delta D_a$ no ar. Mais especificamente, no vidro, a variação do percurso é: $h' = h + \Delta D_v$ em que (conforme a figura acima):

$$\Delta D_v = h \left(\frac{1}{\cos r} - 1 \right)$$

como $\cos r = \sqrt{1 - \sin^2 r}$ e $\sin r = \frac{n_a}{n_v} \sin i$ obtemos:

$$\Delta D_v = h \left(\frac{1}{\cos r} - 1 \right) = h \left[\frac{1}{\sqrt{1 - \left(\frac{n_a}{n_v} \sin i \right)^2}} \right] \approx \frac{h}{2} \left(\frac{n_a}{n_v} \right)^2 \sin^2 i$$

(da 2ª para 3ª igualdade usou-se a expansão em série de Taylor de $\frac{1}{\sqrt{1-x^2}}$)

- Considerando $\Delta d|_N = \Delta D_v$ na Eq.4 obtemos:

$$N_v = \frac{h}{\lambda_0} \frac{n_a^2}{n_v} \sin^2 i$$

em que N_v é o número de alternâncias claro-escuro-claro que se observa ao variar o percurso da luz no vidro uma distância ΔD_v .

- A correspondente variação do caminho no ar é dada por:

$$\Delta D_a = h - h' \cos(i - r) = h \left[1 - \frac{\cos(i - r)}{\cos r} \right] \approx h \left(\frac{1}{2} - \frac{n_a}{n_v} \right) \sin^2 i$$

em que a última parte foi obtida usando série de Taylor e magia.

- Considerando $\Delta d|_N = \Delta D_a$ na Eq.4 obtemos:

$$N_a = \frac{h}{\lambda_0} \left(n_a - 2 \frac{n_a^2}{n_v} \right) \sin^2 i$$

em que N_a é o número de alternâncias claro-escuro-claro que se observa ao variar o percurso da luz no ar uma distância ΔD_a .

- Assim, ao variar o ângulo entre a perpendicular da lâmina e o eixo do feixe de 0° até i teremos N alternâncias claro-escuro-claro no centro do alvo:

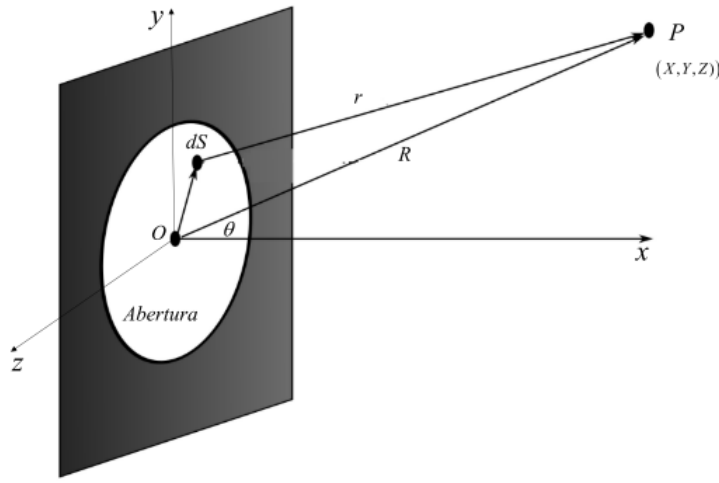
$$N = N_a + N_v = \frac{h}{\lambda_0} \left(n_a - \frac{n_a^2}{n_v} \right) \sin^2 i$$

pelo que conseguimos obter a equação que nos dá o coeficiente de refração do vidro com o ângulo i e o número de alternâncias N :

$$n_v = \frac{h n_a^2 \sin^2 i}{h n_a \sin^2 i - N \lambda_0} \quad (\text{Eq. 6})$$

3 - Difração da Luz

3.1 - Considerações Gerais



- Consideremos que temos um caso como acima (luz a vir da esquerda e a passar na abertura, onde sofre difração) e queremos determinar a intensidade luminosa no ponto P .
- Usando o princípio de Huygens, cada elemento infinitesimal de área dS age como uma fonte pontual de ondas esféricas que se propagam até ao ponto P , onde gera um campo elétrico com módulo dado por:

$$dE = \frac{E_a}{r} e^{i(\omega t - kr)} dS \quad (\text{Eq. 7})$$

(em que E_a é o módulo do campo na abertura, onde consideramos o campo constante)

- Considerando que $dS = (0, y, z)$ e $P = (X, Y, Z)$. A distância entre eles é

$$r = \sqrt{X^2 + (Y - y)^2 + (Z - z)^2}$$

- Se considerarmos que P está suficientemente longe da abertura temos $r \sim R$. Isto é uma boa aproximação no denominador da fração $\frac{E_a}{r}$ na equação de dE acima. Mas no termo kr do expoente, essa aproximação é péssima, porque $k = \frac{2\pi}{\lambda}$ será um valor alto, pelo que o erro da aproximação $r \sim R$ será significativo. Assim, sendo $R = \sqrt{X^2 + Y^2 + Z^2}$ ficamos com:

$$r = R \sqrt{1 + \frac{y^2 + z^2}{R^2} - 2 \frac{Yy + Zz}{R^2}} \approx \sqrt{1 - 2 \frac{Yy + Zz}{R^2}}$$

(a última parte vem de $R \gg y, z$ logo $\frac{y^2 + z^2}{R^2} \rightarrow 0$)

- A partir da expansão em série de Taylor:

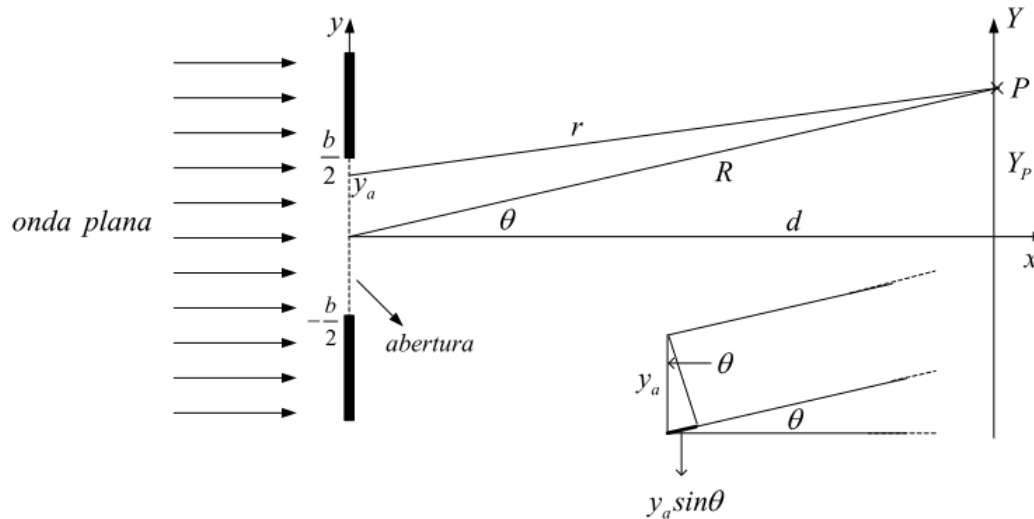
$$r \approx R \left(1 - \frac{Yy + Zz}{R^2} \right) = R - \frac{Yy + Zz}{R} = - \left(-R + \frac{Yy + Zz}{R} \right)$$

o que, ao substituir na equação de dE nos dá: $dE = \frac{E_a}{R} e^{i(\omega T - kR)} e^{ik \frac{Yy + Zz}{R}} dS$. Isto resulta em:

$$E(P, t) = \frac{E_a}{R} e^{i(\omega t - kR)} \int_{\text{abertura}} e^{ik \frac{Yy + Zz}{R}} dS \quad (\text{Eq. 8})$$

3.2 - Padrão de Interferência de Fenda

- Consideremos uma fenda muito comprida, com largura b . Temos abaixo a vista transversal:



- Aqui é mais útil usar a Eq. 8, já que o integral de fontes não é de área, mas sim em 1 dimensão. Temos:

$$dE = \frac{E_a}{r} e^{i(\omega t - kr)} dy_a$$

- Tal como na secção atrás, $r \simeq R$ é uma boa aproximação no denominador, mas não no expoente. Ai, conforme a figura acima (aproximação na esquina inferior direita) podemos considerar que $r \parallel R$ e temos: $r \approx R - y_a \sin \theta$. Assim podemos substituir estas aproximações na Eq.8 e considerar apenas a parte imaginária e temos:

$$dE = \frac{E_a}{R} \sin(\omega t - k(R - y_a \sin \theta)) dy_a$$

- Ao integrar na abertura ($\int_{-b/2}^{+b/2}$) obtemos:

$$E(P, t) = \frac{E_a b}{R} \frac{\sin(k \frac{b}{2} \sin \theta)}{k \frac{b}{2} \sin \theta} \sin(\omega t - kR)$$

definimos

$$\beta \equiv k \frac{b}{2} \sin \theta = \frac{2\pi}{\lambda} \frac{b}{2} \sin \theta = \frac{\pi n b}{\lambda_0} \sin \theta$$

(λ_0 é o comprimento de onda no vácuo e n o índice de refração do meio)

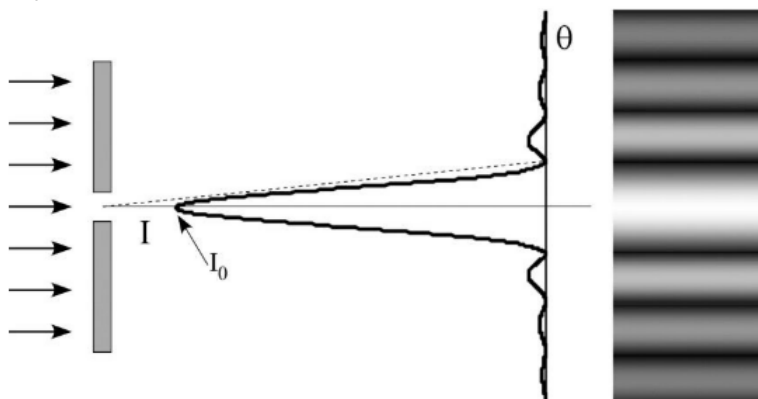
e ficamos com:

$$E(P, t) = \frac{E_a b}{R} \frac{\sin \beta}{\beta} \sin(\omega t - kR)$$

- A intensidade da radiação em P é dada por $I(P) = v\epsilon \langle E^2(P, t) \rangle$ (v é a velocidade da luz e ϵ a permissividade elétrica do meio). Sendo $\langle \sin^2(\omega t - kR) \rangle = \frac{1}{2}$ temos:

$$I(P) = \frac{1}{2} \left(\frac{E_a v \epsilon b}{R} \right)^2 \left(\frac{\sin \beta}{\beta} \right)^2 \equiv I_0 \text{sinc}^2 \beta \quad ; \quad I_0 \equiv \frac{1}{2} \left(\frac{E_a v \epsilon b}{R} \right)^2$$

isto já nos permite entender onde teremos máximos e mínimos da onda e etc:



sendo que os mínimos ocorrem quando

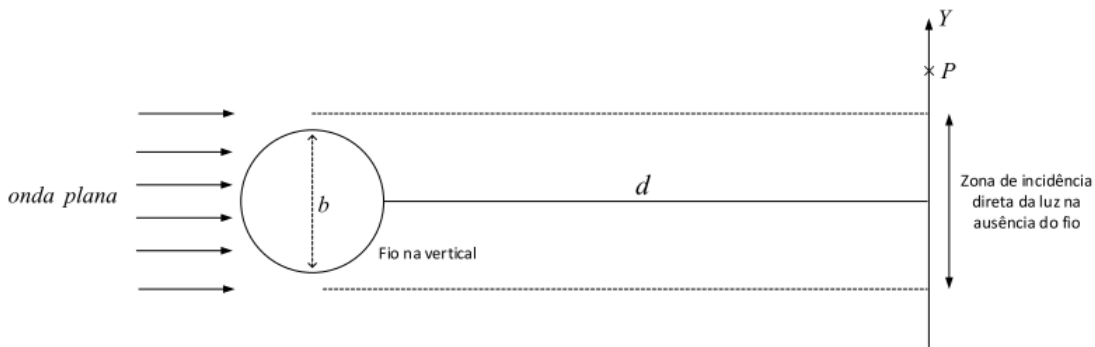
$$\beta = \frac{\pi nb}{\lambda_0} \sin \theta = m\pi \rightarrow \sin \theta = \frac{\lambda_0}{nb} m, \quad m = \pm 1, \pm 2, \dots$$

- Assim, os primeiros mínimos aparecem em $m = \pm 1$, ou seja $\sin \theta_{\pm 1} = \pm \frac{\lambda_0}{nb}$. Ou seja, não temos mínimos se $|\theta_{\pm 1}| \geq 90^\circ$. Assim, não ocorre difração quando: $\lambda_0 \geq nb$
- Conforme a primeira figura desta secção: $\tan \theta = \frac{Y_P}{d}$. Ora, se o ângulo θ for reduzido temos $\sin \theta \sim \tan \theta \sim \theta \sim Y_P/d$. Ou seja temos 2 igualdades:

$$\sin \theta = \frac{Y_P}{d} = \frac{\lambda_0}{nb} m \rightarrow b = m \frac{d\lambda_0}{nY_{min|m}}, \quad m = \pm 1, \pm 2, \dots \quad (\text{Eq. 9})$$

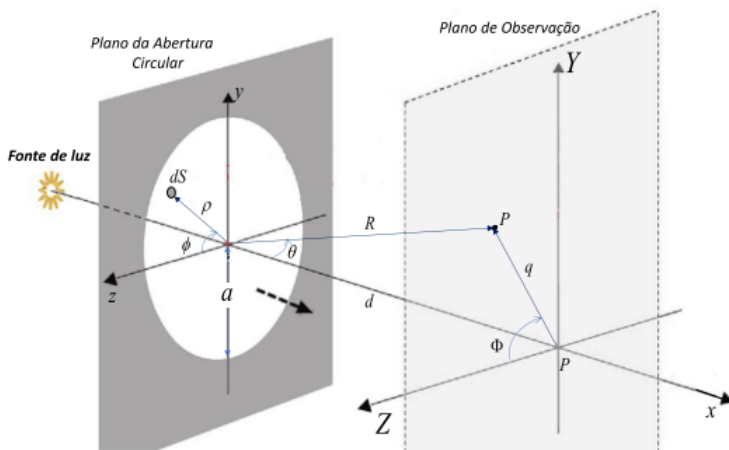
medindo a distância ao centro de um mínimo ($Y_{min|m}$) e sabendo o número do mínimo (m) conseguimos então obter a largura da fenda (b).

3.3 - Padrão de Interferência de um Fio



- Devido a razões muito bem explicadas no protocolo, este caso tem uma "fenda" complementar à da secção atrás. Assim, o comportamento da onda é igual, pelo que podemos obter a espessura do fio usando a Eq. 9.

3.4 - Padrão de Interferência de Abertura Circular



em que começamos por colocar o problema em coordenadas esféricas (imaginar o plano xOy com o ângulo ϕ/Φ nos planos da abertura e de observação):

$$\begin{aligned} z &= \rho \cos \phi & Z &= q \cos \Phi \\ y &= \rho \sin \phi & Y &= q \sin \Phi \end{aligned}$$

e temos:

$$dS = \rho d\rho d\phi$$

e ficamos com

$$E(P, t) = \frac{E_a e^{i(\omega t - kR)}}{R} \int_0^a \int_0^{2\pi} e^{i \frac{k\rho q}{R} \cos(\phi - \Phi)} \rho d\phi d\rho$$

- Ora, acontece que a função a ser integrada não pode ser simplificada, pelo que temos uma famigerada **função de Bessel** (de primeira espécie de ordem zero):

$$J_0(u) = \frac{1}{2\pi} \int_0^{2\pi} e^{iu \cos \nu} d\nu$$

e reescrevemos o integral acima como:

$$E(P_{|\Phi=0}, t) = \frac{E_a e^{i(\omega t - kR)}}{R} 2\pi \int_0^a J_0\left(\frac{k\rho q}{R}\right) \rho d\rho$$

- De seguida faz-se uma passagem a função de Bessel para ordem 1 e mudança de variável e obtemos:

$$E(P_{|\Phi=0}, t) = \frac{E_a e^{i(\omega t - kR)}}{R} 2\pi a^2 \left[\frac{J_1\left(\frac{kaq}{R}\right)}{\frac{kaq}{R}} \right] = \frac{2E_a A e^{i(\omega t - kR)}}{R} \left[\frac{J_1\left(\frac{kaq}{R}\right)}{\frac{kaq}{R}} \right]$$

em que $A = \pi a^2$ é a área da abertura.

- Consequimos ainda obter:

$$I(P_{|\Phi=0}) = \frac{2v\epsilon A^2 E_0^2}{R^2} \left[\frac{J_1\left(\frac{kaq}{R}\right)}{\frac{kaq}{R}} \right]^2$$

sendo que no centro do alvo temos $q = 0$ logo:

$$I(P_{|\Phi=0}, q = 0) = \frac{v\epsilon A^2 E_0^2}{2R^2} \equiv I_0$$

e podemos escrever a intensidade da onda incidente no alvo a uma distância q do centro como:

$$I(q) = I_0 \left[\frac{2J_1\left(\frac{kaq}{R}\right)}{\frac{kaq}{R}} \right]^2 = I_0 \left[\frac{2J_1(ka \sin \theta)}{ka \sin \theta} \right]^2$$

- O primeiro zero da função irá aparecer quando:

$$J_1(ka \sin \theta) = 0 \rightarrow \frac{2\pi}{\lambda} a \sin \theta = 3,83 \rightarrow \sin \theta \approx \theta = 1,22 \frac{\lambda}{D}$$

em que $D = 2a$ AKA diâmetro da abertura.

- Conforme a figura no início desta secção vemos que $\tan \theta = q/d$. Ora, considerando especificamente o 1º zero da função Intensidade temos:

$$\tan \theta_{pz} = \frac{q_{pz}}{d} \approx \sin \theta_{pz}$$

(em que $q_{pz} = q_{\text{primeiro zero}}$)

Ora, indo acima vemos que um zero da função ocorre quando $ka \sin \theta = 3,83$. Ficamos então com:

$$ka \frac{q_{pz}}{d} = \frac{2\pi n}{\lambda_0} a \frac{q_{pz}}{d} = 3,83$$

e obtemos a fórmula que nos permite estimar o diâmetro da fenda sabendo a distância do 1º zero ao centro do padrão de interferência:

$$D = 1,22 \frac{\lambda_0}{n} \frac{d}{q_{pz}} \quad (\text{Eq. 10})$$

sendo que, usando o 2º e 3º zeros da função de Bessel de ordem um temos:

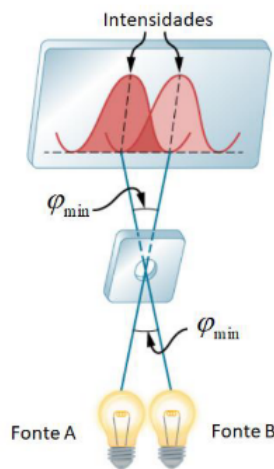
$$D = 2,23 \frac{\lambda_0}{n} \frac{d}{q_{sz}}$$

$$D = 3,24 \frac{\lambda_0}{n} \frac{d}{q_{tz}}$$

(em que $q_{sz} = q_{\text{segundo zero}}$ e $q_{tz} = q_{\text{terceiro zero}}$)

Duas Fontes

- Até aqui, vimos o caso de a fonte estar alinhada com o eixo central da abertura, pelo que o padrão de interferência também o estará.
- Se a fonte estivesse desviada um ângulo φ do eixo central, o padrão de interferência também o estará, para do lado oposto (ver figura abaixo)
- Ora, imaginemos agora que temos 2 fontes, ambas desviadas um ângulo φ do eixo central, mas de lados opostos:



- Ora, prestemos então atenção ao parâmetro φ_{min} que diz a separação mínima entre as 2 fontes (como mostrado na figura acima) para que os padrões de interferência das 2 fontes sejam distinguíveis.
- Ora, a separação mínima será aquela em que o máximo principal de 1 fonte coincide com o 1º mínimo da outra.

Assim, como $\varphi_{min} = \theta_{pz}$ obtemos:

$$\varphi_{min} = 1,22 \frac{\lambda_0}{nD} \quad (\text{Eq. 11})$$

4 - Execução